

- Festlegung der Integrationskonstanten durch Forderung:
 $\varphi = 0$ soll sonnennächsten Punkt der Bahn beschreiben, s wird dort maximal:

$$\left. \frac{ds}{d\varphi} \right|_{\varphi=0} = 0 \quad \Rightarrow \quad A = 0, \quad \left. \frac{d^2s}{d\varphi^2} \right|_{\varphi=0} < 0 \quad \Rightarrow \quad -B < 0$$

- Damit:

$$s = \frac{1}{\varrho} = \frac{1}{p}(1 + \varepsilon \cos \varphi), \quad B = \frac{\varepsilon}{p} > 0, \quad p = \frac{L^2}{\gamma M m^2}$$

- Parameter ε kann beliebige positive Werte annehmen:

1. $0 < \varepsilon < 1$: Ellipsen mit Halbachsen $a = p/(1 - \varepsilon^2)$, $b = p/\sqrt{1 - \varepsilon^2}$; Entartung (Grenzfall): $\varepsilon = 0$: Kreisbahn (entartete Ellipse)
2. $\varepsilon = 1$: Parabeln
3. $\varepsilon > 1$: Hyperbeln

- Bestimmung der Ellipsenbahnparameter p und ε aus L und E :

1. Es ist:

$$L^2 = \gamma m^2 M p = \gamma m^2 M \frac{b^2}{a}$$

2. Betrachten Energiesatz am sonnennächsten Punkt:

$$\varphi = 0, \quad \dot{\varphi} = 0, \quad \varrho = \frac{p}{1 + \varepsilon} = a(1 - \varepsilon),$$

$$E = \frac{L^2}{2m\varrho^2} - \frac{\gamma m M}{\varrho} = \gamma m M \left(\frac{p}{2\varrho^2} - \frac{1}{\varrho} \right) = \gamma m M \frac{\varepsilon - 1}{2\varrho},$$

3. Damit folgt:

$$E = -\frac{\gamma m M}{2a}, \quad \frac{L^2}{E} = -2mb^2$$

Die Energie bestimmt eindeutig die große Halbachse a ; der Quotient L^2/E die kleine Halbachse b .

- Kennzeichnung einer Hyperbelbahn durch (siehe Abb.)

1. Abstand d vom Brennpunkt zur Asymptoten
 2. Ablenkwinkel ϑ
- Bestimmung von d und ϑ aus L und E :

1. $\varrho \rightarrow \infty$, $\varphi \rightarrow \varphi_\infty$, Hyperbelgleichung $\Rightarrow \cos \varphi_\infty = -\frac{1}{\varepsilon}$
Zusammenhang mit ϑ (siehe Abb.):

$$\pi - \vartheta = 2(\pi - \varphi_\infty), \quad \frac{\vartheta}{2} = \varphi_\infty - \frac{\pi}{2} \quad \Rightarrow \quad \sin \frac{\vartheta}{2} = \frac{1}{\varepsilon}$$

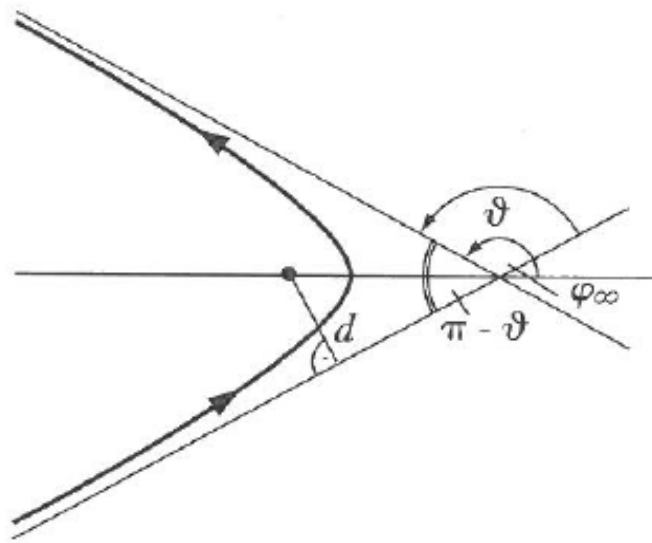


Abbildung aus Stephani/Kluge: Theoretische Mechanik

2. Energiesatz am sonnennächsten Punkt:

$$E = \gamma m M \frac{\varepsilon - 1}{2\varrho}, \quad \varrho = \frac{p}{1 + \varepsilon} \quad \Rightarrow \quad E = \gamma m M \frac{\varepsilon^2 - 1}{2p}$$

Nun:

$$p = \frac{L^2}{\gamma M m^2} \quad \Rightarrow \quad \varepsilon^2 - 1 = \frac{2EL^2}{\gamma^2 M^2 m^3} = \cot^2 \frac{\vartheta}{2}$$

3. Für kräftefreien Massenpunkt mit Geschwindigkeit $\vec{v}_\infty = \vec{v}(\varrho \rightarrow \infty)$ entlang der Asymptote gilt:

$$L_\infty = m |\vec{r} \times \vec{v}_\infty| = m d v_\infty, \quad v_\infty = |\vec{v}_\infty|$$

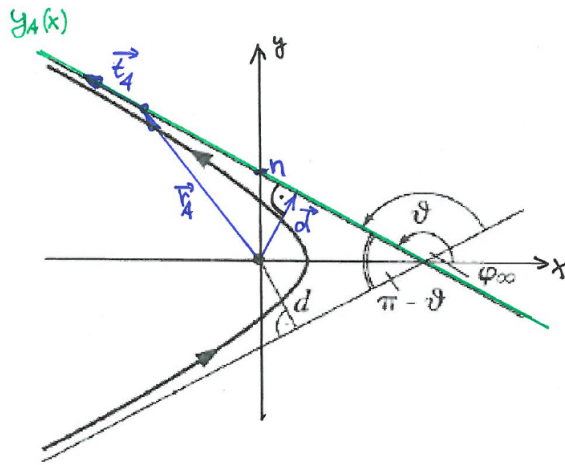
Im Unendlichen strebt Hyperbel gegen Asymptote; daher gilt:

$$L = \lim_{\varrho \rightarrow \infty} m |\vec{r} \times \vec{v}| = L_{\infty} = m d v_{\infty}$$

Energiesatz im Unendlichen:

$$E = \frac{m}{2} v_{\infty}^2 \quad \Rightarrow \quad d = \frac{L}{\sqrt{2mE}}$$

4. Alternativer Weg zur Berechnung von d (siehe Abbildung):



Wir berechnen d gemäß

$$d = |\vec{r}_A \times \vec{t}_A|,$$

wobei \vec{r}_A den Ortsvektor der oberen Asymptote und \vec{t}_A den auf Eins normierten Tangentialvektor an diese Asymptote darstellt.

Aus der Abb. folgt:

$$d = |\vec{r}_A \times \vec{t}_A| = \left| (n \vec{b}_y + |\vec{r}_A - n \vec{b}_y| \vec{t}_A) \times \vec{t}_A \right| = n |\vec{b}_y \times \vec{t}_A|$$

(a) Berechnung von \vec{t}_A :

Geradengleichung der Asymptoten:

$$y_A(x) = x \tan \varphi_{\infty} + n \quad \Rightarrow \quad \vec{t}_A = \pm \frac{1}{\sqrt{1 + [y'_A(x)]^2}} \left(\vec{b}_x + y'_A(x) \vec{b}_y \right)$$

Es folgt hier (siehe Abb.): $\vec{t}_A = \vec{b}_x \cos \varphi_{\infty} + \vec{b}_y \sin \varphi_{\infty}$.

(b) Berechnung von n :

$$\begin{aligned}
 n &= \lim_{\varphi \rightarrow \varphi_\infty} (y - x \tan \varphi_\infty), & x &= \varrho \cos \varphi, \quad y = \varrho \sin \varphi, \\
 &= \lim_{\varphi \rightarrow \varphi_\infty} \frac{p \sin \varphi - p \cos \varphi \tan \varphi_\infty}{1 + \varepsilon \cos \varphi} && \text{(weil } \varrho = p/(1 + \varepsilon \cos \varphi)) \\
 &= -\frac{p}{\varepsilon} (\cot \varphi_\infty + \tan \varphi_\infty) && \text{(nach der Regel von L'Hospital)} \\
 &= \frac{p\varepsilon}{\sqrt{\varepsilon^2 - 1}} && \text{(weil } \cos \varphi_\infty = -1/\varepsilon)
 \end{aligned}$$

(c) Damit folgt:

$$\begin{aligned}
 d &= n |\vec{b}_y \times \vec{t}_A| = \frac{p\varepsilon}{\sqrt{\varepsilon^2 - 1}} \left| \vec{b}_y \times (\vec{b}_x \cos \varphi_\infty + \vec{b}_y \sin \varphi_\infty) \right| \\
 &= \frac{p\varepsilon |\cos \varphi_\infty|}{\sqrt{\varepsilon^2 - 1}} = \frac{p}{\sqrt{\varepsilon^2 - 1}}
 \end{aligned}$$

(d) Mit $p = \frac{L^2}{\gamma M m^2}$ und $\varepsilon^2 - 1 = \frac{2EL^2}{\gamma^2 M^2 m^3}$ ergibt sich:

$$d = \frac{L}{\sqrt{2mE}}$$

1.5.3 Diskussion der Bewegungstypen im $1/r$ -Potential

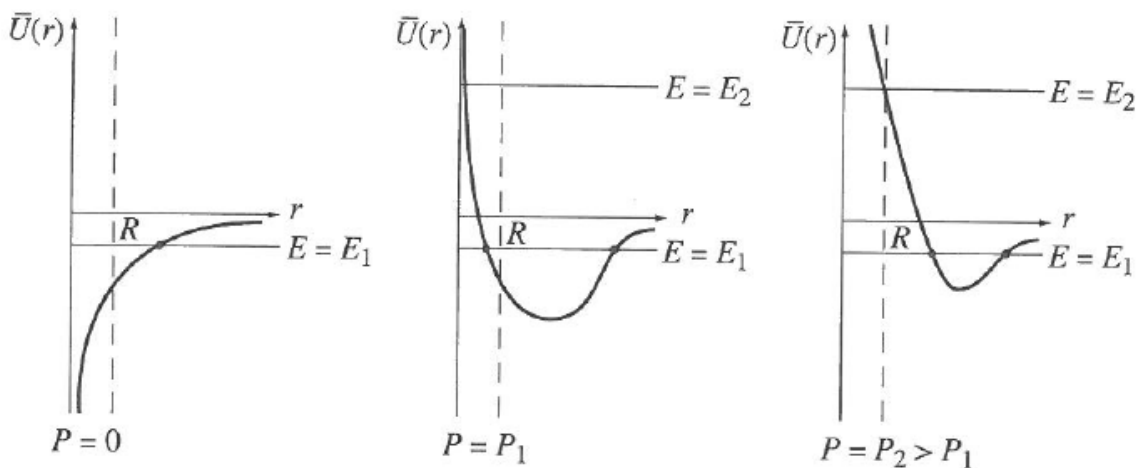


Abbildung aus Stephani/Kluge: Theoretische Mechanik
(ersetze $P \rightarrow L$ und $r \rightarrow \varrho$)

- Energiesatz

$$E = \frac{m}{2}\dot{\varrho}^2 + \frac{L^2}{2m\varrho^2} + U(\varrho) = \frac{m}{2}\dot{\varrho}^2 + \bar{U}(\varrho)$$

\Rightarrow qualitative Diskussion wie in Kapitel 1.3.5 (siehe Abb.)

- Bewegung nur in solchen Bereichen möglich, in denen das *effektive* Potential \bar{U} kleiner ist als die gegebene Energie E .
- Beitrag des Drehimpulses zum Potential \bar{U} entspricht einer abstoßenden Kraft $\sim \varrho^{-2}$.
- Für negative Energiewerte ($E = E_1$) ergibt sich eine gebundene Bewegung.
- 1. kosmische Geschwindigkeit v_1 : Mindestgeschwindigkeit für einen Satelliten im Erdorbit

v_1 gegeben durch:

$$\gamma \frac{mM}{R^2} = m\omega^2 R = m \frac{v_1^2}{R} \quad \Rightarrow \quad v_1 = \sqrt{\frac{\gamma M}{R}} = \sqrt{gR} \approx 7,9 \text{ km} \cdot \text{s}^{-1}$$

R : Erdradius, M : Erdmasse

- 2. kosmische Geschwindigkeit v_2 : Mindestgeschwindigkeit für Flucht aus Erdanziehung

v_2 gegeben durch:

$$0 = E = \frac{m}{2}v_2^2 - \gamma \frac{mM}{R} \quad \Rightarrow \quad v_2 = \sqrt{\frac{2\gamma M}{R}} = \sqrt{2gR} \approx 11,2 \text{ km} \cdot \text{s}^{-1}$$

- In der Abb. ist L_1 zu klein für Erdorbit: Satellit stürzt ab. L_2 ist hinreichend groß.

1.6 Scheinkräfte in rotierenden Bezugssystemen

1.6.1 Geschwindigkeit und Beschleunigung

Betrachten Koordinatentransformation eines IS \mathcal{S} (Koordinaten x^i) in ein rotierendes und beschleunigtes Bezugssystem Σ' (Koordinaten $x^{i'}$):

$$(x, y, z, t) \rightarrow (x', y', z', t') : \quad \begin{pmatrix} x' \\ y' \\ z' \end{pmatrix} = \hat{O}(t) \left[\begin{pmatrix} x \\ y \\ z \end{pmatrix} - \begin{pmatrix} x_0(t) \\ y_0(t) \\ z_0(t) \end{pmatrix} \right], \quad t' = t$$

mit beliebig zeitabhängiger Verschiebung

$$\vec{r}_0(t) = x_0(t)\vec{b}_x + y_0(t)\vec{b}_y + z_0(t)\vec{b}_z = \sum_{i=1}^3 x_0^i(t)\vec{b}_i$$

und zeitabhängiger orthogonaler Matrix

$$\hat{O}(t) = \begin{pmatrix} \underline{n}_1(t) & \underline{n}_2(t) & \underline{n}_3(t) \end{pmatrix}$$

mit

$$\underline{n}_i(t) \cdot \underline{n}_j(t) = \delta_{ij}, \quad \text{also} \quad \hat{O}\hat{O}^T = \hat{O}^T\hat{O} = \hat{I} \quad \text{für alle } t.$$

Wir schreiben:

$$\begin{aligned} x^{i'} &= \sum_{i=1}^3 [\hat{O}]_i^{i'} (x^i - x_0^i), & \frac{\partial x^{i'}}{\partial x^i} &= [\hat{O}]_i^{i'}, \\ x^i &= \sum_{i'=1}^3 [\hat{O}^T]_{i'}^i x^{i'} + x_0^i, & \frac{\partial x^i}{\partial x^{i'}} &= [\hat{O}^T]_{i'}^i, \end{aligned}$$

$[\hat{O}]_i^{i'}$: Eintrag in der i' -ten Zeile und i -ten Spalte der Matrix \hat{O}

1. Berechnung der Zeitableitungen $\dot{\vec{b}}_{i'}$ der mitgeführten Koordinatenba-

sisvektoren im System Σ' :

$$\begin{aligned}
 \dot{\vec{b}}_{i'} &= \frac{d}{dt} \sum_{i=1}^3 \frac{\partial x^i}{\partial x^{i'}} \vec{b}_i = \sum_{i=1}^3 \frac{d}{dt} [\hat{O}^T]_{i'}^i \vec{b}_i \\
 &= \sum_{i=1}^3 \frac{d}{dt} [\hat{O}^T]_{i'}^i \left(\sum_{j'=1}^3 [\hat{O}]_i^{j'} \vec{b}_{j'} \right) \\
 &= \sum_{j'=1}^3 \left(\sum_{i=1}^3 [\hat{O}]_i^{j'} \frac{d}{dt} [\hat{O}^T]_{i'}^i \right) \vec{b}_{j'} \\
 \Rightarrow \dot{\vec{b}}_{i'} &= \sum_{j'=1}^3 [\hat{O} \frac{d\hat{O}^T}{dt}]_{i'}^{j'} \vec{b}_{j'}
 \end{aligned}$$

Nun ist:

$$\hat{O}\hat{O}^T = \hat{I} \quad \Rightarrow \quad \frac{d\hat{O}}{dt}\hat{O}^T + \hat{O}\frac{d\hat{O}^T}{dt} = 0 \quad \Rightarrow \quad \hat{O}\frac{d\hat{O}^T}{dt} = -\frac{d\hat{O}}{dt}\hat{O}^T = -\left(\hat{O}\frac{d\hat{O}^T}{dt}\right)^T$$

Mit

$$\hat{A} := \hat{O} \frac{d\hat{O}^T}{dt}$$

ist demnach eine *antisymmetrische* Matrix gegeben, $\hat{A} = -\hat{A}^T$.

Wir schreiben:

$$\hat{A} = \begin{pmatrix} 0 & -\omega^{3'} & \omega^{2'} \\ \omega^{3'} & 0 & -\omega^{1'} \\ -\omega^{2'} & \omega^{1'} & 0 \end{pmatrix}, \quad \dot{\vec{b}}_{i'} = \sum_{j'=1}^3 [\hat{A}]_{i'}^{j'} \vec{b}_{j'}$$

und erhalten:

$$\begin{aligned}
 \dot{\vec{b}}_{1'} &= \omega^{3'} \vec{b}_{2'} - \omega^{2'} \vec{b}_{3'} \\
 \dot{\vec{b}}_{2'} &= \omega^{1'} \vec{b}_{3'} - \omega^{3'} \vec{b}_{1'} \\
 \dot{\vec{b}}_{3'} &= \omega^{2'} \vec{b}_{1'} - \omega^{1'} \vec{b}_{2'},
 \end{aligned}$$

also:

$$\dot{\vec{b}}_{i'} = \sum_{j',k'=1}^3 \varepsilon_{j'i'}^{k'} \omega^{j'} \vec{b}_{k'}$$